УДК 669.046:519.876.5

И.А. Рыбенко

Сибирский государственный индустриальный университет

ТЕРМОДИНАМИЧЕСКОЕ МОДЕЛИРОВАНИЕ ПРОЦЕССА ГОРЕНИЯ ТОПЛИВА

С целью выявления возможности реализации различных процессов в технологическом агрегате разработана методика расчета, исследования и оптимизации [1] процессов в элементарных системах с использованием программного комплекса «Терра» [2], с применением которой были проведены термодинамические исследования для ряда систем [3 – 5].

Поскольку углерод является основной составляющей любого вида твердого или жидкого топлива, а водород — газообразного топлива и летучих компонентов, исследование условий горения топлива осуществлялось на модельных системах C-O и C-O-H.

Предполагается, что в модельной системе C – О протекают следующие реакции:

$$C+1/2\{O_2\} = \{CO\};$$
 (1)

$$C+\{O_2\} = \{CO_2\};$$
 (2)

$$C+\{CO_2\} = \{CO\};$$
 (3)

$$\{CO\}+1/2\{O_2\} = \{CO_2\}.$$
 (4)

В модельной системе C-O-H, кроме реакций (1)-(4), в зависимости от количества кислорода могут протекать реакции полного и неполного горения метана (CH_4) , горения монооксида углерода (CO) и водорода (H_2) и взаимодействия углерода с водяным паром:

$$\{CH_4\} + 1/2\{O_2\} = \{CO\} + 2\{H_2\}; \qquad (5)$$

$$\{CH_4\} + \{O_2\} = \{CO_2\} + 2\{H_2\}; \qquad (6)$$

$$\{CH_4\} + 3/2\{O_2\} = \{CO\} + 2\{H_2O\}; \qquad (7)$$

$$\{CH_4\} + 2\{O_2\} = \{CO_2\} + 2\{H_2O\}; \qquad (8)$$

$$\{H_2\} + 1/2\{O_2\} = \{H_2O\}; \qquad (9)$$

$$C + \{H_2O\} = \{CO\} + \{H_2\}.$$
 (10)

При моделировании были рассмотрены задачи определения возможных составов и температур, которые могут получаться в результате протекания процессов горения при различных соотношениях содержания углерода, водорода и кислорода. Для этого модельные системы с поэлементным составом С — О или С — О — Н формировались путем задания исходного состава смеси в числах молей. Количество молей углерода, метана и кислорода варьировалось соответственно параметрами n, k и m.

Для задания окислительно-восстановительного состава системы по входным параметрам использовались следующие показатели:

 $\alpha = m/k$ — степень конверсии природного газа, определяемая как отношение количества молей m газообразного кислорода к количеству молей k углерода метана;

 $\alpha^* = m/(n+k)$ — окислительный потенциал системы, определяемый как отношение количества молей газообразного кислорода к общему количеству молей углерода (n+k), подаваемого в систему;

$$Z = \frac{\{\text{CO}\} + \{\text{H}_2\}}{\{\text{CO}\} + \{\text{H}_2\} + \{\text{CO}_2\} + \{\text{H}_2\text{O}\}} - \text{BOCCTA}$$

новительный потенциал газовой фазы, равный отношению суммы концентраций ${\rm CO}$ и ${\rm H_2}$ к суммарному содержанию всех компонентов газовой фазы.

Перечень веществ, которые могут образовываться при взаимодействии указанных элементов, был определен с использованием программного комплекса «Тера» в результате термодинамического анализа протекающих процессов в теоретически возможном интервале температур горения.

При исследовании термодинамических условий горения углерода в системе $nC+mO_2$ значение параметра п было задано равным единице, а количество молей кислорода варьировали параметром m в диапазоне $0 \div 1$, что при m = 1соответствует по стехиометрии полному горению углерода до СО2. При этом использовался показатель а, численное значение которого при n = 1 совпадает со значением параметра m. На рис. 1 приведены зависимости составов и температур t продуктов сгорания углерода, а также мольной доли монооксида углерода $(X_{\{CO\}})$ от показателя α , из которых следует, что при значениях α < 0,4 происходит горение углерода до CO по реакции (1). При $\alpha > 0.4$ в связи с развитием реакции (2) в системе появляется СО₂. Температура при увеличении количества кислорода возрастает до значений порядка 3000 °C и при $\alpha > 0.4$ стабилизируется. При $\alpha > 0.6$ в газовой фазе начинает появляться свободный кислород. Величина показа-

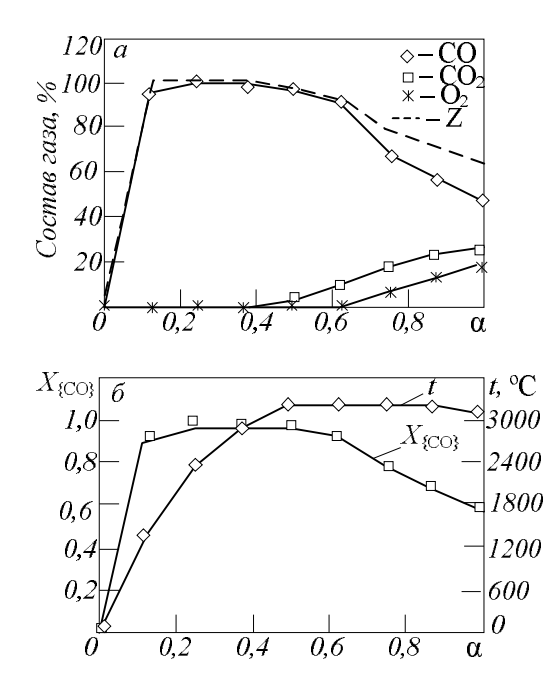


Рис. 1. Зависимости состава (a) и температуры (δ) продуктов сгорания углерода в системе $n{
m C}+m{
m O}_2$ от показателя α

теля Z при низких значениях α составляет 100 %, а при появлении в системе CO_2 уменьшается до 65 %.

Исследование термодинамических условий горения газообразного топлива осуществлялось на модельной системе $kCH_4 + mO_2$. Значение параметра к было задано равным единице, а количество кислорода варьировали параметром m в диапазоне $0 \div 2$; m = 2 соответствует полному горению метана. Численное значение степени конверсии а совпадает с параметром т. На рис. 2 приведены зависимости составов и температуры продуктов сгорания метана от показателя α. Из рисунка видно, что в диапазоне $\alpha = 0 \div 0.5$ при недостатке кислорода происходит неполная кислородная конверсия метана по реакции (5). Компонентами газовой фазы являются метан, монооксид углерода и водород. При $\alpha > 0.5$ получают развитие реакции (6) – (8), в газовой фазе появляются CO_2 и H_2O . При $\alpha > 1$ в системе появляется свободный кислород. Температуры в диапазоне $\alpha = 0 \div 0.5$ не превышают 800 °C, что объясняется низким тепловым эффектом реакции (5); при $\alpha = 0.5 \div 1.0$ наблюдается рост температуры до значений порядка 2800 °C и при $\alpha > 1$ – ее стабилизация. Значение показателя Z = 95 % максимально при $\alpha = 0.5$, а при изменении параметра а в пределах от 0,5 до 2,0 значение Z падает до 37~% из-за увеличения концентраций CO_2 и H_2O в газовой фазе.

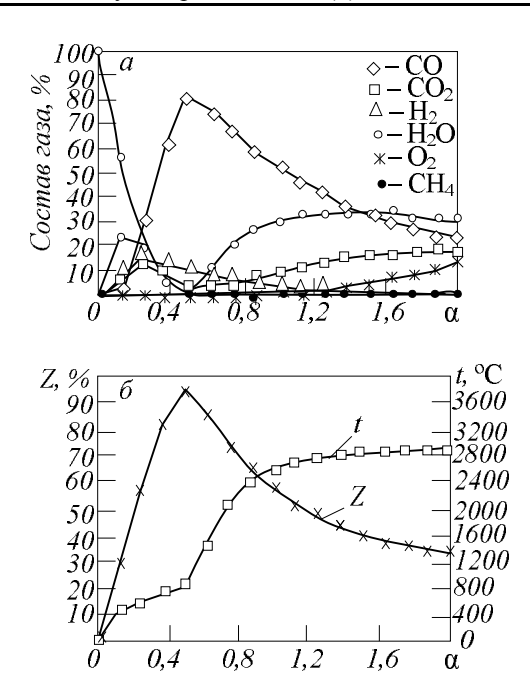
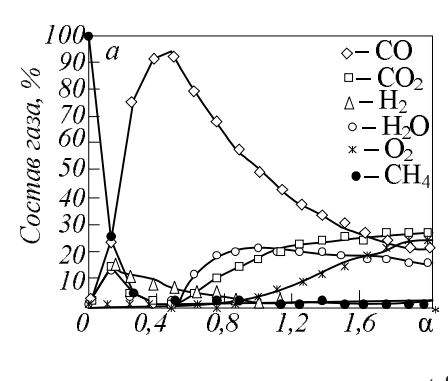


Рис. 2. Зависимости состава (a) и температуры (δ) продуктов сгорания метана в системе $nC + kCH_4 + mO_2$ от показателя α

Исследование термодинамических условий совместного горения твердого и газообразного топлива осуществлялось на модельной системе $nC + kCH_4 + mO_2$. Параметры n и k приняли равными 0,5, а количество кислорода варьировали соответственно параметром т диапазоне 0 ÷ 2. На рис. 3 приведены зависимости составов и температуры продуктов сгорания метана и углерода от параметра α^* . Из рисунка видно, что для процесса горения смешанного топлива характерно смещение влево области неполного горения, которая характеризуется более высоким содержанием СО в продуктах сгорания, что связано с уменьшением количества метана в исходной смеси и, следовательно, уменьшением абсолютного количества водорода в системе. Этим также объясняется снижение содержания H₂O и увеличение содержания СО2 в зоне полного горения топлива, а также более плавный рост температурной кривой. Значение показателя Z также максимально при $\alpha^* = 0.5$ и составляет 99.8 %.

Выводы. За счет изменения степени конверсии природного газа (α) и показателя α^* можно в широких диапазонах управлять как температурным режимом, так и составом газовой фазы. Максимальная восстановительная способность соответствует диапазону $\alpha=0,45\div0,55$, однако при этом имеют место относительно низкие (1200 ÷ 1600 °C) температуры продуктов сгорания.



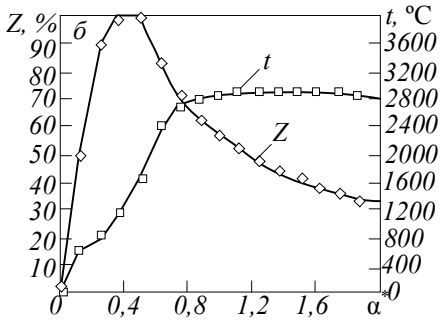


Рис. 3. Зависимости состава (a) и температуры (δ) продуктов сгорания углерода и метана в системе $nC + kCH_4 + mO_2$ от показателя α^*

БИБЛИОГРАФИЧЕСКИЙ СПИСОК

1. Рыбенко И.А. Разработка методики и системы расчета вариантов технологий непрерывного получения металла в агрегатах струйно-эмульсионного типа. Автореф.

- дис. канд. техн. наук. Новокузнецк, 2000. 23 с.
- 2. Трусов Б.Г. / Программная система моделирования фазовых и химических равновесий при высоких температурах // Инженерный журнал: наука и инновации. 2012. № 1 (1). С. 21.
- 3. Голодова М.А., Дмитриенко В.И., Рожихина И.Д., Рыбенко И.А. / Исследование условий и режимов процесса восстановления ванадия в элементарных системах // Изв. вуз. Черная металлургия. 2010. № 4. С. 7 11.
- 4. Рыбенко И.А., Кожемяченко В.И., Красноперов С.Ю. / Моделирование условий и режимов восстановления железа в элементарной системе Fe С О // Междисциплинарные исследования в области математического моделирования и информатики. Материалы 3-ей научпракт. конф. Ульяновск: SIMJET, 2014. С. 339 343.
- 5. Дмитриенко В.И., Нохрина О.И., Рожихина И.Д., Рыбенко И.А. / Термодинамическая оценка возможности легирования стали при обработке ее ванадийсодержащим шлаком // Изв. вуз. Черная металлургия. 2010. № 10. С. 17 20.

© 2014 г. И.А. Рыбенко Поступила 16 июня 2014 г.